



سینتیک تخریب حرارتی پلی پروپیلن ایزوتاکتیک در حضور و غیاب آنتی اکسیدان B₂₁₅ (ایر گانو کس ۱۰۱۰ / ۱۰۱۰ گافوس ۱۶۸ (۱:۲))

ناصر صادق‌پور اورنگ

اهر، دانشگاه آزاد اسلامی واحد اهر، دانشکده شیمی و مهندسی شیمی

nsochem@gmail.com

محمد تقی تقی‌زاده

تبریز، دانشگاه تبریز، دانشکده شیمی

پریناز سیفی آقجه کهنه

تبریز، دانشگاه تبریز، دانشکده شیمی

رضاعبداللهی

تبریز، دانشگاه تبریز، دانشکده شیمی

چکیده

تخریب حرارتی پلی پروپیلن ایزوتاکتیک (I-PP) در حضور و غیاب غلظتها متفاوت از B₂₁₅ انجام گرفته است. از روش ویسکومتری برای مطالعه رفتار تخریبی پلیمر استفاده شده است و همچنین از یک مدل سینتیکی برای پیش‌بینی ثابت‌های سرعت و اکنش تخریب استفاده شده است. خواص تخریب حرارتی این پلیمر توسط روش کالریمتری روشنی دیفرانسیلی (DSC) و شاخص جریان مذاب (MFI) مطالعه شده است. نتایج تجربی نشان می‌دهد که حضور B₂₁₅ سرعت و اکنش تخریب پلی پروپیلن را به طور چشمگیری کاهش می‌دهد. همچنین مشاهده شده است که سرعت تخریب پلیمر در اتمسفر نیتروژن دارای مقدار بزرگتری است.

کلید واژه

تخریب حرارتی، پلی پروپیلن ایزوتاکتیک، پایدار کننده، ثابت سرعت، ویسکوزیته

۱- مقدمه

پلی پروپیلن (PP) از جمله پلیمرهای پر کاربرد در ساخت انواع لوازم و همچنین مورد استفاده در صنایع مهندسی به شمار می‌رود. از این پلیمر به طور گسترده‌ای در تولید ظروف بسته بندی انعطاف‌پذیر و در صنایع خودروسازی در

نشر کننده های نوری اولیه در این روش قابل تجزیه و تحلیل نیستند. بنابراین مطالعه ماهیت مورفولوژیکی و ریزساختاری نواحی که فرایند اکسیداسیون در آنها در همان مراحل اولیه صورت می گیرد بایستی با استفاده از روشهای دیگری بررسی شود.

با در نظر گرفتن این واقعیت که هیدروپر کسیدهای گونه های اصلی در گیر در فرایند اکسیداسیون حرارتی هستند و با بررسی های به عمل آمده از نواحی اکسید شده با استفاده از میکروسکوپ و تصویربرداری کمیلو مینسانس، نشان داده شده است که واکنش آغازی در سطح مشترک فاز بی شکل و نواحی بلورین شکل می گیرد [۱۴]. با این وجود، ماهیت ریزساختاری دقیق واحدهای زنجیری تخریب شده در ابتدای فرایند که عامل اصلی خصوصیت ناهمگنی در تمام طول مدت فرایند تخریب به شمار می رود هنوز به طور دقیق شناخته نشده است. مقالات اخیر بر تجزیه و تحلیل پدیده شناختی فرایند تخریب در ارتباط با روشهای بررسی مختلف تاکید دارند [۱۵ و ۱۶]. روشهای متداولی که برای این منظور استفاده می شوند شامل DSC و TGA هستند که برای مطالعه رفتار حرارتی کامپوزیت های پلیمری به کار می روند [۱۷]. [۱۹]

هدف اصلی این کار بررسی نقش پایدار کننده روی رفتار تخریبی پلی پروپیلن در غلظت های متفاوت از پایدار کننده و یافتن بهترین غلظت پایدار کننده برای پایداری حرارتی پلیمر می باشد. سیستیک تخریب توسط روش ویسکومتری مطالعه شده است. یک مدل سیستیک برای تعیین ثابت سرعت تخریب به کار گرفته شده است. ضرایب و انرژی اکتیواسیون از روی ثابت های سرعت محاسبه شده اند. رفتار تخریب حرارتی پلیمر با استفاده از روش کالریمتری روبشی دیفرانسیلی (DSC) و شاخص جریان مذاب (MFI) مطالعه شده است.

در یک بازه زمانی، خواص پلیمر بازیافت شده دچار ضعف شده و کارآیی اولیه خودش را از دست می دهد. در سالهای اخیر مقالات گوناگونی در ارتباط با تخریب حرارتی پلی اتیلن (PE) و پلی پروپیلن (PP) منتشر شده است. چرا که این دو پلیمر اجزای اصلی زباله های پلاستیکی به شمار می روند [۱۵].

امروزه تخریب اکسایشی - حرارتی پلی اولفین ها به یک موضوع رایج تبدیل شده است. دلیل این امر وجود اهمیت در هر دو دیدگاه بنیادی و کاربردی این فرایند است اکثر کارهای انجام گرفته اختصاص به در کمکانیسم در گیر در این پدیده و همچنین شناسایی گونه های شیمیایی تولید شده از طریق این فرایند [۶] و یا پی بردن به سیستیک واکنش انجام شده دارند. به طوری که در دهه های اخیر تلاشهای فراوانی برای برازش کمی عملیات ساختی اکسیژن [۷-۱۰] و تحول نشر کمیلو مینسانس در طول مدت فرایند، انجام گرفته است ولی متسافانه با موفقیت همراه نبوده است [۱۱ و ۱۲]. این تلاشهای با استفاده از مدل های سیستیکی ناهمگن که برای پیش بینی خواص مورفولوژیکی ساختار شبه بلوری مواد بویژه پلی اتیلن و پلی پروپیلن به کار گرفته شده است. در میان روشهای موجود، مدل سلینا (Celina) قادر به توصیف رفتار سیستیکی کمیلو مینسانس ثبت شده در طول مدت فرایند تخریب حرارتی (I-PP) از همان مرحله اول تا مراحل اکسیداسیون پیشرفت می باشد.

آخر اما نتایج خود را تکیه بر این مدل و با کمک آنالیز طیف سنجی نور نشی، در طول مدت فرایند اکسیداسیون I-PP تهیه کرده ایم [۱۳] که بطور همزمان با کل نور نشر شده در طول مدت حرارت دهی اندازه گیری شده است. در واقع دریافته شده است ویژگی های طیفی ویژه، به هر دوره سیستیکی می تواند ارتباط داشته باشد. از طرف دیگر آنالیز طیفی به کار گرفته می شود تا گونه های اصلی نشر کننده در هر مرحله از تخریب شناسایی شوند. اگرچه متسافانه شدت کم نشر کمیلو مینسانس در تمام مدت فرایند، و بویژه در مراحل بسیار ابتدایی اکسیداسیون حرارتی امکان دستیابی به طیفهای با کیفیت بالا را از ما سلب می کند. بنابراین

اندازه گیری شد. در این روش نمونه های تخریب شده در زمانهای متفاوت، استفاده شد تا محلولهای ۱۰ گرو بر لیتری تهیه شود. ویسکوزیته های نسبی و ویژه η_r با استفاده از روابط زیر محاسبه شد:

$$\eta_r = \frac{\eta}{\eta_0} = \frac{t}{t_0} \quad (1)$$

$$\eta_{sp} = \eta_r - 1 \quad (2)$$

به طوریکه t و t_0 به ترتیب زمان عبور محلول پلیمری و حلال خالص می باشند. ویسکوزیته ذاتی از روی اندازه گیری شیب و با استفاده از رابطه هاگینز (Huggins) تعیین می شود [۲۱].

$$\frac{\eta_{sp}}{c} = [\eta] + k[\eta]^2 c \quad (3)$$

در این رابطه c عبارت از غلظت محلول پلیمر بر حسب گرم بر دسی لیتر، η_{sp}/c ویسکوزیته کاهش یافته و k ، ثابت هاگینز می باشد. [۷] همان ویسکوزیته ذاتی است که از روی η_{sp}/c وقتی که c به سمت بینهایت می کند اندازه گیری می شود. همچنین وزن مولکولی متوسط ویسکوزیته، M_v از طریق رابطه مارک-هووینک به ویسکوزیته ذاتی ارتباط دارد [۲۱]:

$$M = \left(\frac{[\eta]}{k} \right)^{\frac{1}{\alpha}} \quad (4)$$

به طوری که α و k ثابت های مارک-هووینک در دمای $135^\circ C$ هستند [۲۲]. مقدار $a=0.8$ and $k=10 \times 10^{-3} \text{ ml/g}$. تخریب پلیمر را می توان با استفاده از رابطه زیر نشان داد:

$$[\eta_{or} - \eta_r] / [\eta_{or}] \times 100 = (\%) \text{ ویسکوزیته نسبی کاهش یافته به طوری که } \eta_{or} \text{ ویسکوزیته نسبی اولیه می باشد.}$$

۳-۳-۲- کالریمتری روبشی دیفرانسیلی (DSC)
منحنی های DSC با استفاده از یک کالریمتر مدل Setaram 92 مجهز به یک وسیله خنک کننده ثبت شده است. نمونه ها به اندازه های کوچک بر ش داده شد و در ظرف الومینیومی قرار داده شد. سپس ظرف حاوی نمونه در $140^\circ C$ درجه سانتی گراد حرارت داده شد.

۲- بخش تجربی

۱-۲- مواد

پلی پروپیلن ایزو تاکتیک، با گرید FI-160 و ایزو تاکتیسیته (99%) و شاخص جریان مذاب (MFI) ۱۷.۳ از dg/min شرکت پلی نار ایران خریداری شده و بدون خالص سازی مورد استفاده قرار گرفته است. پایدار کننده B215 محصول شرکت Ciba کشور سوئد به عنوان یک پایدار کننده استفاده شده است که حاوی ۱۰۱۰ Irganox به عنوان آنتی اکسیدان اول و ۱۶۸ Irgaphos به عنوان آنتی اکسیدان دوم و با نسبت ۱ به ۲ می باشد. مтанول و دکالین ساخت شرکت Merck آلمان به عنوان حلال استفاده شده است.

۲-۲- آماده سازی نمونه ها

برای بررسی نقش پایدار کننده روی رفتار تخریبی پلی پروپیلن، غلظتهاي متفاوت از پایدار کننده (1000 , 500 , 1500 و 2000 ppm) تهیه شد و سپس محصولات بدست آمده در متابول حل شد و با 200 گرم از پلی پروپیلن خالص مخلوط شد. محصول نهایی داخل یک ظرف تمیز ریخته شد و در دمای $50^\circ C$ درجه سانتی گراد و در شرایط خلاء خشک شد تا برای مطالعه رفتار تخریبی آماده شود.

۳-۲- روش های آنالیز

۱-۳-۲- تخریب حرارتی

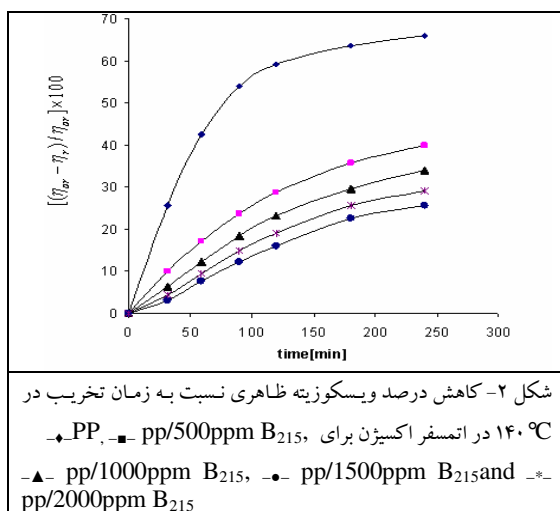
آزمایشات تخریب از طریق قرار دادن پودر پلی پروپیلن خالص و پلی پروپیلن حاوی پایدار کننده در یک کوره با دمای ثابت ($140^\circ C$ درجه سانتی گراد)، و در دو اتمسفر هوا و نیتروژن بطور مقایسه ای انجام شد و در فواصل زمانی معین نمونه برداری انجام گرفت. در تمام موارد 10 گرم بر لیتر از نمونه ها در حلال دکالین حل شد و سپس نمونه های حاصل آنالیز شد [۲۰].

۲-۳-۲- اندازه گیری ویسکوزیته ذاتی

به منظور مقایسه تغییرات وزن مولکولی در طول مدت تخریب این کمیت با استفاده از یک ویسکومتر (Setavic) تعیین شد.

از عوامل اصلی تشکیل هیدروپرکسیدها به شمار می رود که موجب تخریب پلیمر می شوند. در غیاب اکسیژن، زنجیر پلیمر قادر به تشکیل حلقه های هیدروپرکسید نبوده و در نتیجه زنجیر پلیمر گستته نمی شود.

۲-۲- تخریب پلی پروپیلن/پایدار کننده
تشکیل کامپوزیتهای بر پایه پلی پروپیلن و پایدار کننده (B215) به منظور تقویت پایداری پلی پروپیلن بسیار نتیجه بخش است. برای بررسی نقش غلاظت پایدار کننده روی رفتار تخریبی PP/B₂₁₅ در غلاظتهای متفاوت از پایدار کننده با استفاده از روش ویسکومتری بررسی شده است. در شکل ۲ درصد ویسکوزیته نسبی کاسته پلی پروپیلن و پلی پروپیلن پایدار کننده در اتمسفر اکسیژن و بر حسب زمان تخریب در دمای ۱۴۰ درجه سانتی گراد رسم شده است.

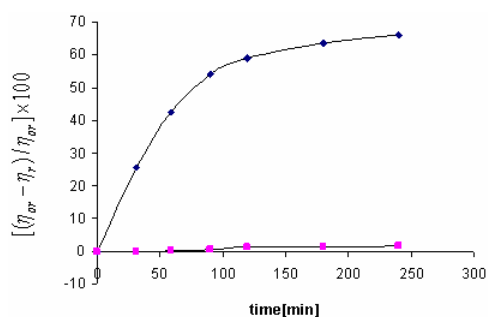


مطابق با نتیجه نشان داده شده در شکل ۲، یافته شده است که تغییرات ویسکوزیته نسبی کاسته پلی پروپیلن نسبت به پلی پروپیلن حاوی پایدار کننده بزرگتر است که نتایج متفاوتی را نشان می دهد. با توجه به این شکل، می توان مشاهده کرد که ترکیب مطالعه شده یک کارایی پایداری بزرگتری را نسبت به پلیمر خالص نشان می دهد. شکل ۲ نشان می دهد که تغییرات ویسکوزیته نسبی کاسته همزمان با افزایش غلاظت پایدار کننده از ۵۰۰ ppm به ۲۰۰۰ ppm کاهش می یابد اما تغییرات ویسکوزیته نسبی کاسته پلی پروپیلن حاوی

۴-۳-۲- شاخص جریان مذاب (MFI)
آزمایشات MFI با استفاده از یک ابزار سنجش جریان مذاب ساخت شرکت Chest انجام شد.

۳- نتایج و بحث

تخریب پلی پروپیلن در ۱۴۰ درجه سانتی گراد با استفاده از روش ویسکومتری بررسی شده است. در شکل ۱ درصد ویسکوزیته نسبی کاسته برای پلی پروپیلن خالص در اتمسفر هوا به صورت تابعی از زمان تخریب رسم شده است.

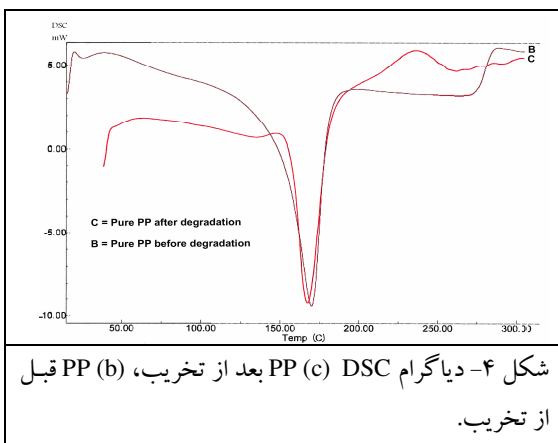


شکل ۱- کاهش درصد ویسکوزیته ظاهری PP خالص نسبت به زمان تخریب در ۱۴۰ °C در اتمسفر اکسیژن -○- و نیتروژن -■-

می توان مشاهده کرد که درصد ویسکوزیته نسبی کاسته در طول مدت مرحله آغازی به طور نمایی افزایش می یابد و سپس با یک سرعت کمتری و در یک بازه زمانی گسترده تر کاهش می یابد. این تنها نتیجه ای از این واقعیت است که پلی پروپیلن یک پلیمر شب بلوری است و تخریب پلیمر در نواحی بی شکل انجام می گیرد، بنابراین افزایش نواحی بی شکل منجر به یک درصد ثابتی از درصد ویسکوزیته ظاهری می شود. همچنین می توان گفت که یک رقم ثابتی از گستگی زنجیر در یک مجموعه از مولکولهای طوبیل، منجر به یک کاهش نسبی در ویسکوزیته می شود که نسبت به مقدار به دست آمده برای مجموعه مشابه برای زنجیرهای کوتاه دارای مقدار بزرگتری است [۲۰]. در مطالعه تجربی اثر اکسیژن روی تخریب، همچنین آزمایشات در اتمسفر نیتروژن انجام شد. نتایج در شکل ۱ آورده شده است که نشان می دهد که حذف اکسیژن از محیط واکنش بر سرعت واکنش تخریب تاثیر می گذارد. از طرف دیگر اکسیژن یکی

pp/1000ppm B_{215,-*} pp/1500ppm B₂₁₅and
pp/2000ppm B₂₁₅

۴-۳- مطالعه تخریب پلیمر بوسیله نتایج DSC
 منحنی های DSC مربوط به PP خالص قبل و بعد از ۳۶۰ دقیقه تخریب در دمای ۱۴۰ درجه سانتی گراد در شکل ۴ نشان داده شده است. تخریب پلیمر منجر به کاهش نقطه ذوب PP می شود و این به دلیل کاهش وزن مولکولی پلیمر است. PP دو پیک اندوتورمیک را در ۱۳۰ و ۱۶۵ درجه سانتی گراد را نشان می دهد که به ترتیب مربوط به تشکیل ترکیبات جدید و تخریب پلیمر است.

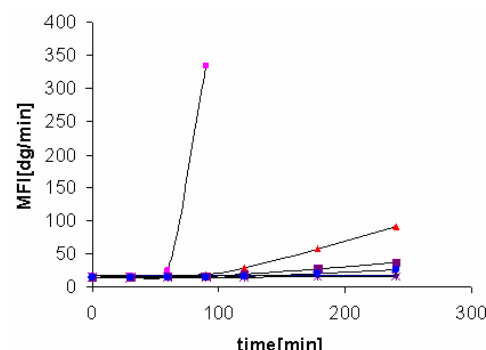


شکل ۴- دیاگرام DSC (c) PP بعد از تخریب، (b) PP قبل از تخریب.

برای بررسی های بیشتر، منحنی های DSC نمونه PP خالص و PP/B215 با غلاظت های متفاوت از پایدار کننده در دمای ۱۴۰ درجه سانتی گراد و بعد از ۳۶۰ دقیقه در شکل های ۵ و ۶ نشان داده شده است. از روی ترموگرافها می توان محاسبه کرد که دماهای ذوب PP با افزایش مقدار افزودنی، به سمت دماهای بالاتر جابه جا می شود.

۲۰۰۰ ppm از پایدار کننده نسبت به کامپوزیت حاوی ۱۵۰۰ ppm از آن کمتر است. این نتایج نشان می دهد که B215 دارای یک اثر بازدارنده‌گی روی فرایند اکسایش حرارتی پلیمر دارد و پلی پروپیلن دارای پایداری حرارتی کمتری نسبت به PP/B215 می باشد. در میان نمونه های که مورد بررسی قرار گرفته است، کامپوزیتهای حاوی ۱۵۰۰ ppm از پایدار کننده دارای بیشترین مقدار پایداری حرارتی هستند.

۳-۳- مطالعه پدیده تخریب بوسیله نتایج MFI
 ما از نتایج MFI برای نشان دادن رفتار تخریبی PP و PP/B215 استفاده کردیم. حدود سیالیت دارای یک ارتباط مقابل با جرم مولکولی پلیمر است. از طرف دیگر با کاهش جرم مولکولی پلیمر، حد سیالیت پلیمر افزایش می یابد. داده های MFI برای PP خالص در اتمسفر نیتروژن و PP خالص، PP/B215 ر اتمسفر هوای در دمای ۱۴۰ درجه سانتی گراد در شکل ۳ نشان داده شده است. می توان از این شکل مشاهده کرد که در اتمسفر نیتروژن، حد سیالیت PP خالص از ۱۷.۴ به ۱۷.۷ dg/min افزایش می یابد در حالیکه در هوای این کمیت از ۱۷.۴ به ۳۳۴.۵ dg/min افزایش می یابد. بنابراین، پلیمر در اتمسفر نیتروژن پایدارتر است. نتایج شکل ۳ نشان می دهد که حد سیالیت PP/B215 کمتر از PP خالص است، بنابراین پایداری PP/B215 نسبت به PP خالص بزرگتر است.



شکل ۳- منحنی MFI در ۱۴۰ درجه سانتی گراد برای PP در اتمسفر نیتروژن
—♦— اتمسفر اکسیژن —■— و برای pp/500ppm B₂₁₅ —▲— .

سرعت کل تخریب را می‌توان با استفاده از یک مدل سینتیکی ساده بیان کرد:

$$\frac{-dM_\eta}{dt} = kM_\eta^P \quad (5)$$

که M_η وزن مولکولی متوسط ویسکوزیته پلیمر، t زمان، P مرتبه کلی واکنش و k ثابت سرعت واکنش است. حل دیفرانسیلی معادله ۵ به صورت زیر است.

$$\frac{1}{M_\eta^{P-1}} = X_\eta = \frac{1}{M_{0\eta}^{P-1}} + (P-1)kt \quad (6)$$

که $M_{0\eta}$ وزن مولکولی متوسط ویسکوزیته اولیه است. از طریق رابطه ۶ به ویسکوزیته ذاتی ارتباط دارد. بنابراین رابطه ۶ رابطه بنیادی برای تعیین کمیتهای سینتیکی بر مبنای داده های ویسکومتری است. در موردی که از پایدارکننده استفاده شده است، سرعت تخریب حرارتی به غلظت پایدارکننده و پلیمرستگی دارد که به صورت زیر است:

$$R = K |PP|^\alpha |S|^\beta \quad (7)$$

در غلظت ثابت از پایدارکننده رابطه ۷ به صورت زیر در می آید:

$$R = K |S|^\beta \quad (8)$$

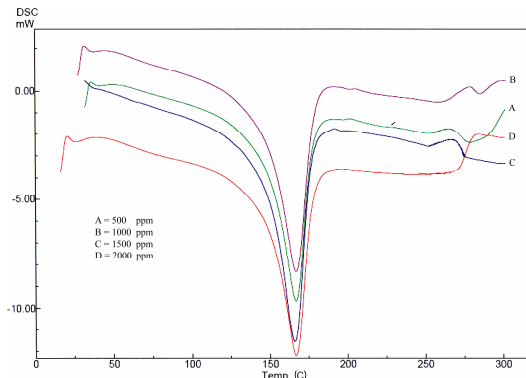
$$\text{که } .K' = K |S|^\beta$$

ثابتها سرعت ظاهری، k' در رابطه ۹ تعریف شده است که از روی شیب منحنی X_η بر حسب زمان در دمای های متفاوت تخمین زده می شود.

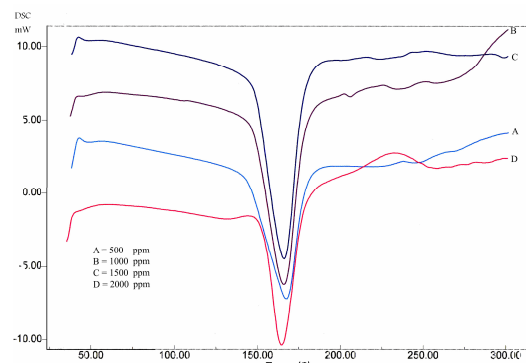
$$\frac{1}{M_\eta^{P-1}} = X_\eta = \frac{1}{M_{0\eta}^{P-1}} + (P-1)k't \quad (9)$$

۶-۳- سرعت تخریب

۱-۶-۳- اثر تخریب حرارتی روی پلیمر با گذشت زمان در دمای ۱۴۰ درجه سانتی گراد مطالعه شده است. تغییرات در جرم مولی در شکل ۷ نشان داده شده است. میزان کاهش در وزن مولکولی در ۹۰ دقیقه اول سریع است و به تدریج به یک مقدار حدی می شود. معادله ۶ نشان می دهد که منحنی $1/M_\eta^{P-1}$ بر حسب زمان باید خطی باشد. با در نظر گرفتن مرتبه واکنش، داده های ما با معادله ۶ سازگاری دارد. بهترین مقدار p بدست آمده از منحنی خطی برابر با ۱,۳۵ می باشد.



شکل ۵- دیاگرام DSC قبل از تخریب برای B₂₁₅, (A) pp/500ppm B₂₁₅, (B) pp/1000ppm B₂₁₅, (C) pp/1500ppm B₂₁₅, (D) pp/2000ppm B₂₁₅



شکل ۶- دیاگرام DSC بعد از تخریب برای B₂₁₅, (A) pp/500ppm B₂₁₅, (B) pp/1000ppm B₂₁₅, (C) pp/1500ppm B₂₁₅, (D) pp/2000ppm B₂₁₅

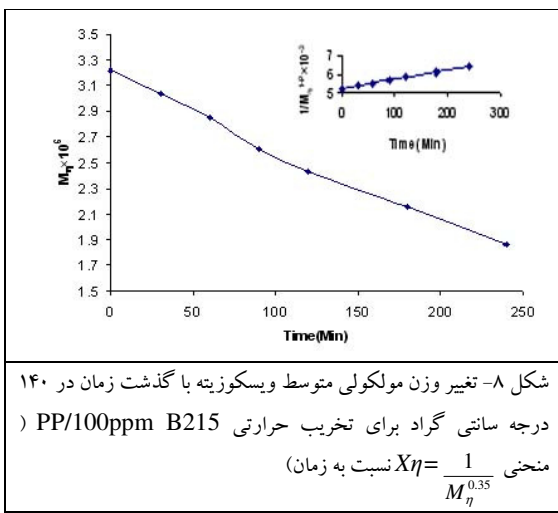
بنابراین، بواسطه تاثیر پایدارکننده B215 روی پلیمر، پایداری PP/B215 نسبت به PP خالص بزرگتر است. در میان نمونه های بررسی شده، B₂₁₅ با مقدار پایدارکننده ۱۵۰۰ ppm بواسطه پایداری حرارتی پلیمر، دارای بزرگترین مقدار نقطه ذوب است.

۴-۳- مدل سینتیکی

سرعت تخریب را به صورت تعداد مول های شکسته در یک لیتر و در واحد زمان تعریف می کنیم. باید در نظر داشت که با شکستن یک زنجیر پلیمر، دو زنجیر پلیمر با جرم مولکولی پایین ایجاد می شود. اگرچه فرایند گسترش پلیمر یک فرایند پیچیده است و اغلب مدل سینتیکی برای تفسیر داده های تخریب حرارتی استفاده می شود فرض بر این است که

گراد در حضور B215 پایداری حدود ۱۸ مرتبه بیشتر از پلیمر خالص است.

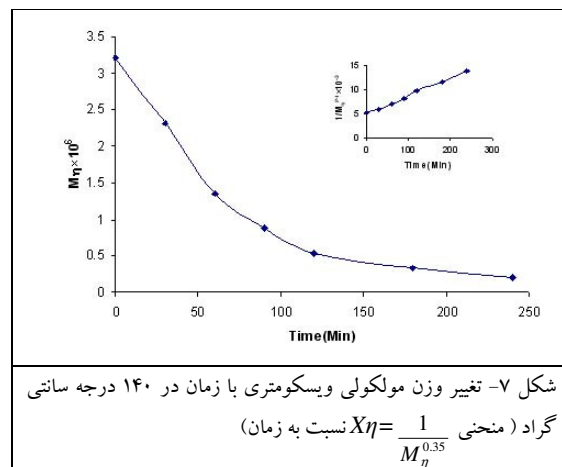
نمودار کرانه شکل ۷ نشان می دهد که منحنی خطی است و اعتبار معادله ۶ را تائید می کند.



۳-۷-۲- اثر غلظت پایدارکننده روی سرعت تخریب حرارتی

داده های تخریب پلیمر پایدار شده بوسیله B215 در غلظت های متفاوت (۵۰۰-۲۰۰۰ ppm) در ۱۴۰ درجه سانتی گراد در شکل ۹ نشان داده شده است. همانطور که در این شکل نشان داده شده است مقدار تخریب به تدریج کاهش می یابد.

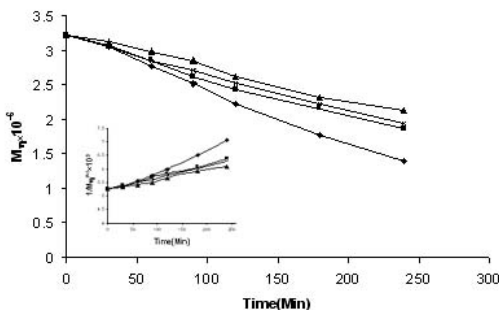
نمودار کرانه شکل ۹ نشان می دهد که منحنی خطی است و اعتبار معادله ۹ را تائید می کند.



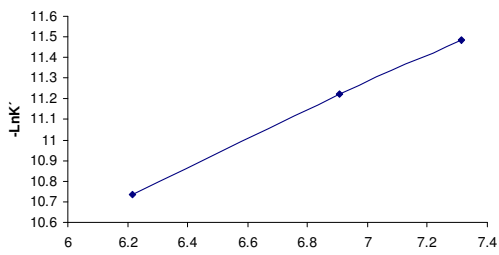
همان طور که در نمودار کرانه شکل ۷ مشاهده می شود، داده های تجربی در این دماها یک تغییر خطی از $X\eta$ با زمان را نشان می دهد. ثابت های سرعت تخریب را می توان به طور مستقیم از شبی خطوط بدست آورد که در جدول ۱ آورده شده اند.

جدول ۱- ثابت سرعت بدست امده از همبستگی خطی برای PP و PP/B215 حاوی ۱۰۰۰ ppm در ۱۴۰ درجه سانتی گراد.

Sample Type	$K \times 10^4 (l^{35} g^{-356} min^{-1})$
PP	1.073
PP/B215	0.133

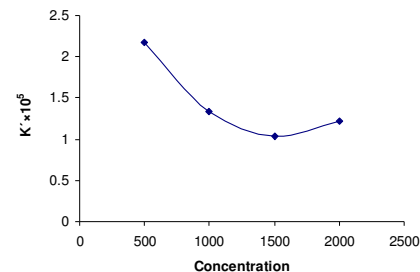


۳-۶-۲- تخریب پلیمر حاوی مواد افزودنی اثر تخریب حرارتی روی پلیمر حاوی ۱۰۰۰ ppm از B215 با زمان در دمای ۱۴۰ درجه سانتی گراد مطالعه شده است. تغییر در جرم های مولی با زمان تخریب در شکل ۸ نشان داده شده است. از این شکل می توان مشاهده کرد که در حضور پایدار کننده، میزان تخریب به تدریج کاهش می یابد و کارآبی پایداری بزرگتری را در مقایسه با PP خالص ارائه می دهد. نمودار کرانه در شکل ۸ نشان می دهد که منحنی خطی است و اعتبار معادله ۹ را تائید می کند. ثابت های سرعت بدست آمده از شبی خطوط در جدول ۱ آورده شده است. در یک مقایسه کمی، در ۲۴۰ دقیقه و در ۱۴۰ درجه سانتی



شکل ۱۱- منحنی 'LnK' بر حسب [S]

همان طور که در این شکل نشان داده شده است، داده های تجربی در همه غلظت ها تغییر خطی X_{M1} با گذشت زمان را نشان می دهد. ثابت های سرعت بدست امده از این منحنی ها، یک کاهش در سرعت را با افزایش غلظت پایدار کننده نشان می دهد. شکل ۱۰ تغییر ثابت سرعت k' را با غلظت پایدار کننده نشان می دهد که یک غلظت بهینه را برای تخریب حدود ۱۵۰۰ ppm است. ثابت های سرعت بدست امده در جدول ۲ گزارش شده است.



شکل ۱۰- منحنی k' در مقابل غلظت پایدار کننده برای نشان دادن بهینه غلظت برای تخریب حرارتی.

جدول ۲- داده های ثابت سرعت ظاهری PP/B215 در غلظتها مختلف

Concentration	$K' \times 10^5 (l^{35} g^{-35} min^{-1})$
500	2.147
1000	1.335
1500	1.028
2000	1.214

۳- تعیین موتیه واکنش نسبت به پایدار کننده $LnK' = LnK + qLn[S]$ از روی معادله ۸ معادله بدست آمد که k' ثابت سرعت تخریب ظاهری و k ثابت سرعت تخریب و $[S]$ غلظت پایدار کننده می باشد. نمودار سرعت تخریب و $[S]$ غلظت پایدار کننده نشان داده شده است. شیب خط -0.68 است. که پیشنهاد می کند که درجه واکنش نسبت به B215 برابر -0.68 است که نشان دهنده پایدار شدن پلیمر است.

۴- نتایج
سینتیک تخریب گرمایی PP خالص و PP/B215 در اتمسفر نیتروژن و هوا بوسیله ویسکومتری، C و DSC در دمای ۱۴۰ درجه سانتی گراد مطالعه شده است. اثر نوع اتمسفر، غلظت پایدار کننده روی تخریب حرارتی نیز مطالعه شد که بیان می کند که تخریب حرارتی در حضور اتمسفر هوا بیشتر از اتمسفر نیتروژن است. نتایج نشان می دهد که سرعت تخریب با افزایش غلظت پایدار کننده کاهش پیدا می کند. این پدیده بخاطر اثر پایداری حرارتی B215 است. میزان پایداری حرارتی نمونه ها به ترتیب زیر بدست آمده است:
 $PP < PP/500ppm B_{215} < PP/1000ppm B_{215} < PP/1500ppm B_{215} > PP/2000ppm B_{215}$

داده های آزمایش نشان می دهد که تخریب PP/B215 در غلظت ۱۵۰۰ ppm بهینه است و بالاتر از این غلظت میزان پایداری کاهش می یابد.

- [9] Gugums F. Thermooxidative degradation of polyolefins in the solid state. Part 3: Heterogeneous oxidation mode. *Polym. Degrad. Stab* 1996; 52: 159-170.
- [10] Gugumus F. Thermooxidative degradation of polyolefins in the solid state—4: Heterogeneous oxidation kinetics. *Polym. Degrad. Stab* 1996; 53: 161-187.
- [11] Celina M, George G.A, Billingham N.C. Physical spreading of oxidation in solid polypropylene as studied by chemiluminescence. *Polym. Degrad. Stab* 1993; 42; 335-344.
- [12] Verdu S, Verdu J. A New Kinetic Model for Polypropylene Thermal Oxidation at Moderate Temperatures. *Macromolecules* 1997; 30: 2262-2267.
- [13] Tiemblo P, Gomeaz-Elvira J.M, Teyssedre G, Massines F, Laurent C. Degradative luminescent processes in atactic polypropyleneI. Chemiluminescence along the thermooxidation. *Polym. Degrad. Stab* 1999; 66: 41-47.
- [14] Lacey D.J, Dudler V. Chemiluminescence from polypropylene. Part 1: Imaging thermal oxidation of unstabilised film. *Polym. Degrad. Stab* 1996; 51: 101-108.
- [15] Pospisil J, Horak Z, Pilar J, Billingham N.C, Zweifel H, Nespurek S. Influence of testing conditions on the performance and durability of polymer stabilisers in thermal oxidation. *Polym. Degrad. Stabil* 2003; 82: 145-162.
- [16] Pospisil J, Pilar J, Billingham N.C, Marek A, Horak Z, Nespurek S. Factors affecting accelerated testing of polymer photostability. *Polym. Degrad. Stabil* 2006; 91: 417-422.
- [1] Bockhorn H, Hornug A, Hornung U, Schawaller D. Kinetic study on the thermal degradation of polypropylene and polyethylene. *J. Anal. Appl. Pyrolysis* 1999; 48: 93-109.
- [2] Westerhout R.W.J, Waanders J, Kuipers J.A.M, van Swaaij W.P.M. Kinetics of the Low-Temperature Pyrolysis of Polyethene, Polypropene, and Polystyrene Modeling, Experimental Determination, and Comparison with Literature Models and Data. *Ind. Eng. Chem. Res* 1997; 36: 1955-1964.
- [3] Chan J.H, Balke S.T. The thermal degradation kinetics of polypropylene: Part III. Thermogravimetric analyses. *Polym. Degrad. Stab* 1997; 57: 135-149.
- [4] Lattimer R.P. Pyrolysis field ionization mass spectrometry of polyolefins. *J. Anal. Appl. Pyrolysis* 1995; 31: 203-225.
- [5] Day M, Cooney J.D, MacKinnon M. Degradation of contaminated plastics: a kinetic study. *Polym. Degrad. Stab* 1995;48: 341-349.
- [6] Iring M, Tudos F. Thermal oxidation of polyethylene and polypropylene: Effects of chemical structure and reaction conditions on the oxidation process. *Prog. Polym. Sci* 1990; 15: 217-262.
- [7] Gugums F. Thermooxidative degradation of polyolefins in the solid state: Part 1. Experimental kinetics of functional group formation. *Polym. Degrad. Stab* 1996; 52: 131-144.
- [8] Gugums F. Thermooxidative degradation of polyolefins in the solid state. Part 2: Homogeneous and heterogeneous aspects of thermal oxidation. *Polym. Degrad. Stab* 1996; 52: 145-157.

[17] Zanetti M, Bracco P, Costa L. Thermal degradation behavior of PE/clay nanocomposites. *Polym. Degrad. Stabil.* 2004; 85: 657-665.

[18] Bertini F, Canetti M, Audisio G, Costa G, Falqui L. Characterization and thermal degradation of polypropylene-montmorillonite nanocomposites. *Polym. Degrad. Stabil.* 2006; 91: 600-605.

[19] Dobkowdki Z. Thermal analysis techniques for characterization of polymer materials. *Polym. Degrad. Stabil.* 2006; 91: 488-493.

[20] Home H.K, Foros H, Pettersen H, Dornish M, Smidsrod O. Thermal depolymerization of chitosan choride. *Carbohydrate polymers* 2001; 46: 287-294.

[21] Gowariker V.R, Viswanathan N.V, Streedhar J. Polymer sience, New Age Internatinal (P) Limited, New Delhi, India, 2001.

[22] Moore P. Polypropylen Handbook, New york. 2004.